

	N-101 SUPERFICIE OCULAR LENTE DE CONTACTO	N-102 SUPERFICIE OCULAR LENTE DE CONTACTO	N-105 CIRUGÍA REFRACTIVA	N-106 OPTOMETRÍA PEDIÁTRICA ATENCIÓN PRIMARIA SALUD PÚBLICA	N-107+N-108 INSTRUMENTACIÓN EN OPTOMETRÍA CLÍNICA	N-117+N-118 INVESTIGACIÓN BÁSICA	N-111+N-112	N-114	N-115	N-116	
09:30	Adaptación objetiva con OCT de polo anterior de lente de contacto híbrida en ectasia yatrogénica. <i>Elisa García Ardoy, et al.</i>	Sintomatología en pacientes usuarios de ortoqueratología nocturna. <i>Elena Santolaria Sanz</i>	Solución para un vault grande. <i>Sara Ceballos Burgos, et al.</i>	Reproducibilidad intra e inter-observador de los parámetros del nervio óptico y del espesor macular con tomógrafo de coherencia óptica en niños. <i>Irene Altemir Gómez, et al.</i>	Variaciones en las mediciones del autorrefractómetro respecto a la compensación óptica final en pacientes implantados con diversas lentes intraoculares. <i>María Amparo Díez Ajenjo, et al.</i>	Longitud axial y refracción periférica en miopes progresivos y no progresivos. <i>Miguel Faria Ribeiro, et al.</i>	¿Cómo contribuirán las lentes de contacto diarias en una nueva era en el área de la contactología? <i>Paulo Daniel Araújo Pinto</i> CIBA VISION				09:30
09:50	Adaptación de lentes de contacto hidrofílicas cosméticas para defectos estéticos descentrados. <i>Javier Ruiz-Alcocer, et al.</i>	Análisis de una serie de marcadores en lágrima en usuarios de lentes de contacto hidrogel silícica vs terapia refractiva corneal. <i>Javier González Pérez, et al.</i>	Cálculo del giro de las lentes intraoculares tóricas a partir del defecto refractivo residual. <i>Nuria Garzón Jiménez, et al.</i>	Evaluación de las propiedades biomecánicas corneales y su correlación con la longitud axial en una población infantil y juvenil emétrope. <i>Inmaculada Bueno Gimeno, et al.</i>	Aplicación clínica del OCT de segmento anterior, en la valoración del ángulo después de facemulsificación. ¿Cómo afecta dicha variación a la PIO? <i>Javier Cantó Vañó, et al.</i>	¿Existe realmente un mecanismo intracapsular de acomodación? <i>Norberto López-Gil, et al.</i>	Salud ocular a través de los complementos alimenticios: DMAE, sequeidad y fatiga ocular. <i>Rubén Urbano Rodríguez</i> AYIZOR				09:50
10:10	Preferencias del profesional del cuidado de la visión y del paciente al seleccionar lentes de contacto blandas tóricas. <i>Laura Oliveira Soto, et al.</i>	Control de miopía con lentes de ortoqueratología en España: cambios refractivos y biométricos. <i>César Villa Collar, et al.</i>	Resultados refractivos y aberrométricos de la cirugía Lasik con la tecnología láser de estado sólido. <i>David Pablo Piñero Llorens, et al.</i>	Estudio comparativo de los resultados refractivos obtenidos mediante fogging y refracción ciclopléjica en niños de edad escolar (de 3 a 16 años). <i>Eva Díaz Castillo, et al.</i>	¿Podemos esperar resultados fiables en las medidas de la longitud axial ocular utilizando interferometría de coherencia parcial (...)? <i>Alberto López Miguel, et al.</i>	Relación entre espesor corneal central y periférico y el grado de miopía. <i>Laura Mena García, et al.</i>	Las nuevas titulaciones universitarias en óptica y optometría, un punto de inflexión en el ejercicio profesional. <i>Fernando Hidalgo Santa Cruz</i> OPTICUS				10:10
10:30	Evaluación de criterios de severidad del grado de metaplasia escamosa por citología de impresión conjuntival y corneal en dos poblaciones diferentes. <i>Matilde Mora Valencia, et al.</i>	Control de miopía con lentes de ortoqueratología en España (MCOS): incidencia de reacciones adversas y abandonos. <i>Pablo Jacinto Santodomingo Rubido, et al.</i>	Resultados funcionales y refractivos tras el implante de una lente intraocular multifocal tórica. <i>Francisco Alba-Bueno, et al.</i>	Encuesta satisfacción campaña prevención del glaucoma. <i>Graciela Del Rey Amarillo, et al.</i>	Medida del umbral de luminancia en condiciones de iluminación escotópicas. <i>Ainhoa Molina Martín, et al.</i>	Detección de pérdidas en la funcionalidad del sistema visual mediante el analizador de doble modulación ATD. <i>Inmaculada Cabezas Juan, et al.</i>	Corrección de aberración esférica con lentes de contacto y su impacto en la visión nocturna. <i>José Manuel González-Méijome</i> BAUSCH + LOMB				10:30
10:50	La alteración de modelos de células epiteliales utilizando PQ-1 en concentraciones elevadas demuestra la naturaleza engañosa de herramientas unidimensionales (...). <i>Mohinder M. Merchea, et al.</i>	Control de miopía con lentes de ortoqueratología en España (MCOS): factores de riesgo asociados con la progresión de la miopía. <i>César Villa Collar, et al.</i>	Tratamiento de la presbicia mediante láser de femtosegundo (Intracor): 6 meses de seguimiento. <i>Saida González Colas, et al.</i>	Criterio de clasificación diagnóstica del glaucoma mediante perimetría de duplicación de frecuencia (FDT Matrix). <i>Ángela Morejón Arranz, et al.</i>	Análisis de la calidad óptica visual tras capsulotomía YAG mediante técnica de doble paso. <i>Paloma Luque Morillo, et al.</i>	Efecto de la inyección intravítrea de BDNF en la muerte de células ganglionares de retina en un modelo murino de lesión traumática. <i>Caridad Galindo Romero, et al.</i>	¿Cuál es la mejor lente de contacto para mi paciente? <i>Silvia Pulido</i> Johnson & Johnson Vision Care				10:50
11:10	Alteración de la superficie ocular por exposición a un ambiente adverso. Modelo en una cámara de control ambiental Cer-Lab. <i>Marisa Tesón Yudego, et al.</i>	Control de miopía con lentes de ortoqueratología en España (MCOS): calidad de vida relacionada con la visión entre niños usuarios de LC de orto-K y niños usuarios de gafas. <i>P. Jacinto Santodomingo Rubido, et al.</i>	Estudio comparativo de los resultados visuales del implante de lentes intraoculares multifocales tóricas y monofocales tóricas. <i>Bárbara Blanco Torcal, et al.</i>	Hallazgos en polo anterior con biomicroscopio ocular. <i>Penélope García Ayas, et al.</i>	¿Son fiables las medidas de aberraciones de alto orden de la tecnología que integra topografía de disco de Plácido y frente de onda tipo Hartmann-Shack? <i>Loreto Martínez-Almeida</i>	Variación de la presión intraocular con la acomodación. <i>Paulo Rodrigues Botelho Fernandes, et al.</i>	Arquitectura de fusión: nuevo sistema de análisis de la binocularidad en usuarios de lentes progresivas. <i>Almudena Cuervo Pascual</i> HOYA				11:10
11:30	VISITA E-POSTER / VOTACIÓN										11:30
12:00	AUDITORIO N-103 + N-104 CONFERENCIA INAUGURAL ¿Se puede retrasar el envejecimiento del cerebro? Francisco Mora Teruel										12:00
13:00	ALMUERZO										13:00
14:30	AUDITORIO N-103 + N-104 SESIÓN PLENARIA Soluciones Premium: ¿realidad o ficción? ↻Lentes oftálmicas. José Alonso Fernández ↻Cirugía refractiva. Juan Carlos Nieto Fernández ↻Lentes de contacto. Raúl Martín Herranz ↻El límite de las soluciones Premium. Rafael Navarro Belsué										14:30
16:00	Lentes intraoculares: tipos y calidad de visión en función del diseño. <i>Nuria Garzón Jiménez</i>	Etiología de la miopía. <i>Earl Smith III</i>	Evaluación de la visión binocular: protocolo y pruebas. <i>Mª Isabel Sánchez Pérez</i>	Cross-linking corneal. <i>Jose Mª Vázquez Molini</i>	Diseño de estudios epidemiológicos. <i>Pilar Cacho Martínez</i>	Tecnologías 3D: fundamentos y aspectos optométricos. <i>José Luis Álvarez Muñoz</i>	Cómo afrontar la crisis aplicando el sentido común. <i>María Julieta Balart Gritti</i>				16:00
17:00							Complicaciones de lentes de contacto a través de la exposición interactiva de casos clínicos. <i>María Jesús González García</i>	La aberrometría ocular en la práctica clínica. <i>David Pablo Piñero Llorens</i>	Técnicas de exploración de fondo de ojo. <i>Teyma Valero Pérez</i>		17:00
18:30							Ojo seco: pruebas diagnósticas. <i>Miguel Ángel Sánchez Tena</i>	Microscopía confocal. <i>Amelia Nieto Bona</i>	Ortoqueratología nocturna. <i>José Manuel González Méijome</i>		18:30
20:00											20:00



	N-101 SUPERFICIE OCULAR LENTE DE CONTACTO	N-102 SUPERFICIE OCULAR LENTE DE CONTACTO	N-105 CIRUGÍA REFRACTIVA	N-106 PATOLOGÍA Y FARMACOLOGÍA OCULAR	N-107+N-108 BAJA VISIÓN REHABILITACIÓN VISUAL COOPERACIÓN INTERNACIONAL	N-117+N-118 VISIÓN BINOCULAR REFRACCIÓN FUNCIÓN VISUAL	N-111+N-112	N-114	N-115	N-116	
09:30	Monovisión: implicación de la contactología en la cirugía refractiva. <i>Yolanda Aradilla Zapata, et al.</i>	Cambios producidos en las aberraciones oculares con la acomodación usando lentes de contacto multifocales. <i>David Madrid Costa, et al.</i>	Monitorización de los cambios corneales en su superficie anterior y posterior inducidos por cirugía Lasik miópico con un año de seguimiento. <i>Houda Rachidi, et al.</i>	Caracterización tomográfica del edema de los fotorreceptores en pacientes con degeneración macular seca avanzada y respeto foveal. <i>Marc Biarnés Pérez, et al.</i>	Agudeza visual y calidad de vida en pacientes con Degeneración Macular Asociada a la Edad. <i>Rosa Martínez Hernández, et al.</i>	Influencia de la actividad deportiva y actividades en visión de cerca en el error de refracción. <i>Virginia Carneiro, et al.</i>	Rose K2, una apuesta segura por la contactología especializada. <i>Jacinto Santodomingo Rubido</i>				09:30
09:50	Evaluación de la distorsión luminosa con tres tipos de lentes de contacto multifocales hidrofílicas. <i>Helena Neves, et al.</i>	Efecto de diferentes lentes de contacto multifocales en el error refractivo periférico. <i>Valldeflores Viñuela Navarro, et al.</i>	Estudio de la alteración de la superficie ocular tras cirugía refractiva corneal de superficie avanzada, seguimiento a tres meses. <i>Noelia García Sánchez, et al.</i>	El número de inyecciones a los 12 meses y la agudeza visual en pacientes con DMAE neovascular. <i>Jesús Marín del Barrio, et al.</i>	Impacto del edema macular diabético, con repercusión moderada-severa de la AV, en la calidad de vida. Valoración de cuestionarios psicométricos. <i>Diana Bravo García, et al.</i>	¿Está el dolor de cabeza relacionado con los defectos refractivos? <i>Beatriz Javaloyes Moreno, et al.</i>	Evaluación de un nuevo diseño de lente de contacto permeable al gas de zona multifocal variable. <i>José Luis Garrido Tundinor</i>				09:50
10:10	Alteraciones de la agudeza visual de alto y bajo contraste con tres tipos de lentes de contacto multifocales hidrofílicas. <i>Daniela Lopes Ferreira, et al.</i>	Función de sensibilidad al contraste durante la adaptación de 3 tipos de lentes de contacto multifocales: estudio longitudinal. <i>Leticia Isla Paradelo, et al.</i>	Tratamiento de la córnea irregular mediante algoritmo de ablación personalizada guiada por frente de onda topográfico. <i>Juan Carlos Nieto Fernández, et al.</i>	Cambios morfológicos y de distribución espacial de los fotorreceptores en un modelo animal de retinosis pigmentaria. <i>Diego García-Ayuso, et al.</i>	Evaluación de la calidad de vida de pacientes con DMAE utilizando un cuestionario específico para Baja Visión. <i>Lluís Pérez Mañá, et al.</i>	Sintomatología asociada a las anomalías de la visión binocular. <i>Stela Carbonell Bonete, et al.</i>	¡La tecnología Free Form ha quedado desfasada! <i>Oriol Cusó Calaf</i>				10:10
10:30	Determinación de la relación entre síntomas y signos en pacientes con síndrome de ojo seco. <i>Vicente Martín Montañez, et al.</i>	Estudio de la potencia de la lente hidrofílica en piggyback para queratocono. <i>Miguel Romero Jiménez, et al.</i>	Evolución temporal de la AV de lejos, intermedia y cerca, de la adición y de la amplitud de acomodación en pacientes implantados con lente intraocular (...). <i>María Amparo Díez Ajenjo, et al.</i>	Capacidad diagnóstica para el glaucoma del nuevo perimetro Heidelberg Edge Perimeter. <i>Irene Altemir Gómez, et al.</i>	Tratamientos de rehabilitación visual de las hemianopsias homónimas completas: prismas adosados de Palomar, prismas Press-on (...). <i>Fernando J. Palomar Mascaró, et al.</i>	Influencia de la prismsación y la terapia vergencial en la calidad de la visión binocular tras la cirugía en las endotropías adquiridas. <i>Mª Jesús Izquierdo Manrique, et al.</i>	La revolución en tratamientos. <i>Azucena Lorente</i>				10:30
10:50	Análisis de la relevancia clínica del aumento de la osmolaridad de los líquidos de limpieza de lentes de contacto. <i>Francisco José Pinto Fraga, et al.</i>	Utilidad de la lente Rose K NC en queratocono tipo pezón. <i>Patricia Flores Rodríguez, et al.</i>	Comparación de resultados refractivos y calidad de vida tras la implantación de la lente intraocular multifocal ReSTOR versus el procedimiento intracórneo. <i>Saida González Colas, et al.</i>	Reproducibilidad intra e inter-observador de los patrones de autofluorescencia en la atrofia geográfica. <i>Marc Biarnés Pérez, et al.</i>	Evaluación de un programa personalizado de entrenamiento en lectura para pacientes con Degeneración Macular Asociada a la Edad. <i>Mª Begoña Coco Martín, et al.</i>	¿Es posible predecir la estabilización de la refracción tras cirugía de catarata? <i>Victoria De Juan Herráez, et al.</i>	Decisiones en tiempos de crisis. <i>Albert Piferrer Miret</i>				10:50
11:10	Variabilidad inter-día de repetibilidad de los test de evaluación de la superficie ocular. <i>Marisa Tesón Yudego, et al.</i>	Influencia de la estrategia de adaptación y el tipo de cono en las características visuales en queratocono. <i>Miguel Romero Jiménez, et al.</i>	Modelo predictivo preliminar del resultado visual con una lente acomodativa posicional de nueva generación. <i>David Pablo Piñero Llorens, et al.</i>	Utilidad de la luz monocromática roja en la visualización de las drusas de nervio óptico. <i>Patricia Flores Rodríguez, et al.</i>	Calidad de vida en pacientes operados de catarata en Burkina Faso. <i>Mª Isabel Signes Soler, et al.</i>	Estudio retrospectivo sobre la incidencia del éxito y del fracaso en un programa de terapia visual/ortóptica y corrección prismática (...). <i>Juan Antonio Portela Camino, et al.</i>	Diez trucos de los mejores adaptadores del mundo de lentes de contacto multifocales. <i>Manuel Gómez Serrano Sánchez</i>				11:10
11:30	VISITA E-POSTER / VOTACIÓN										11:30
12:00	VISITA EXPOSICIÓN COMERCIAL										12:00
12:00	<div style="display: flex; justify-content: space-between;"> <div style="width: 20%;"> <p>AUDITORIO N-103 + N-104</p> </div> <div style="width: 40%;"> <p>SESIÓN PLENARIA Reflexión crítica sobre la visión binocular.</p> </div> <div style="width: 20%;"> <p>➤ Fiabilidad de los resultados de los test de diagnóstico en la visión binocular. <i>Beatriz Antona Peñalba</i></p> </div> <div style="width: 20%;"> <p>➤ Eficacia de los tratamientos para las disfunciones acomodativas y binoculares. <i>Pilar Cacho Martínez</i></p> </div> </div>										12:00
13:00	ALMUERZO										13:00
14:30	<div style="display: flex; justify-content: space-between;"> <div style="width: 20%;"> <p>AUDITORIO N-103 + N-104</p> </div> <div style="width: 40%;"> <p>SESIÓN PLENARIA Cuestiones no resueltas sobre la etiología de la miopía.</p> </div> <div style="width: 20%;"> <p>➤ ¿Es la hipermetropía periférica un factor de riesgo en la progresión de la miopía? <i>Earl Smith III</i></p> </div> <div style="width: 20%;"> <p>➤ Cambios estructurales y biomecánicos en la miopía. <i>Neville A. McBrien</i></p> </div> <div style="width: 20%;"> <p>➤ Opciones de tratamiento para controlar la refracción periférica en el control de la miopía. <i>Donald Mutti</i></p> </div> </div>										14:30
16:00	Manejo y corrección de hipermetropía en bebés y niños. <i>Neville A. McBrien</i>	Protocolo de derivación en el glaucoma: experiencia en Reino Unido. <i>David Henson</i>	El envejecimiento de la retina. Qué es fisiológico y qué es patológico. <i>Christina A. Curcio</i>	Fármacos de uso optométrico. <i>Noemí Güemes Villahoz</i>	Aplicaciones clínicas de la óptica adaptativa. <i>Rafael Navarro Belsué</i>	Adaptación de lentes de contacto permeables a los gases con apoyo escleral. <i>Jesús Carballo Álvarez</i>	Liderazgo elegante <i>Jaime Pereira García</i>				16:00
17:00								Clinica y análisis de fluoresceinogramas en lentes RPG. Curso interactivo. <i>Javier González-Cavada Benavides</i>	Técnicas de diagnóstico por la imagen del segmento posterior. <i>Marc Biarnés Pérez</i>	¿Para qué y cuándo realizar terapia visual? Casos clínicos. <i>Alicia Ruiz Pomedá</i>	17:00
18:30								Exploración neurooftalmológica. <i>Bernardo Francisco Sánchez Dalmau</i>	Atención visual a escolares con problemas de aprendizaje. <i>Rosa Borrás García</i>	Pruebas preoperatorias para la cirugía de cataratas: biometría ocular y cálculo de lentes intraoculares. <i>José A. Calvache Anaya</i>	18:30
20:00											20:00

E-POSTERS
Los e-posters podrán consultarse durante todo el Congreso en los terminales digitales situados en el vestíbulo de la 1ª planta del Centro de Convenciones Puerta Norte de IFEMA

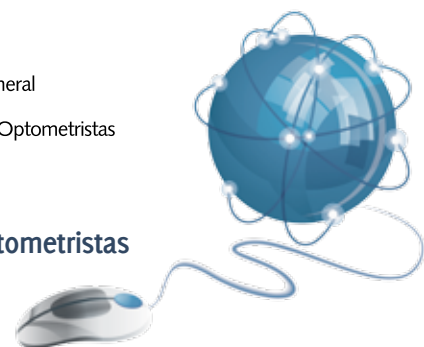
	N-101 SUPERFICIE OCULAR LENTE DE CONTACTO	N-102 SUPERFICIE OCULAR LENTE DE CONTACTO	N-105 CIRUGÍA REFRACTIVA	N-106 PATOLOGÍA Y FARMACOLOGÍA OCULAR	N-107+N-108 ÓPTICA OFTÁLMICA	N-117+N-118 VISIÓN BINOCULAR REFRACCIÓN FUNCIÓN VISUAL	N-111+N-112	N-114	N-115	N-116	
10:00	Lentes de contacto multifocales y sensibilidad al contraste. <i>María Esteban Palomar, et al.</i>	Adaptación de lentes de contacto miniesclerales con diseño sigmoidal. <i>Juan Gonzalo Carracedo Rodríguez, et al.</i>	¿Cuál es el límite para la corrección de aberraciones de alto orden mediante la ablación corneal con láser Excimer. <i>Alberto López Miguel, et al.</i>	Obstrucción venosa de rama superior, seguimiento a largo plazo mediante OCT. <i>Enrique Vélez Lasso, et al.</i>	Propiedades ópticas y cumplimiento de la normativa vigente en gafas de sol procedentes de venta ambulante ilegal. <i>Juan De La Cruz Cardona Pérez, et al.</i>	Optimización del rendimiento lector con lentes con geometría de astericidad vertical. <i>Juan Enrique Cedrun Sanchez, et al.</i>					10:00
10:20	Calidad óptica en lentes de contacto multifocales refractivas asimétricas. <i>Isabel Prieto Carrasco</i>	Adaptación de lentes de contacto rígidas permeables al gas de gran diámetro. <i>Virginia De Miguel Lorenzo, et al.</i>	Efecto del giro en la compensación óptica y en la agudeza visual en pacientes implantados con lentes intraoculares tóricas. <i>Mª Carmen García Domene, et al.</i>	Cambios en el espesor corneal tras instilar agentes midráticos y ciclopléjicos. <i>Yajaira Martínez Parreño</i>	Cristales líquidos y su aplicación a lentes oftálmicas electrónicas (cómo trabajan los cristales líquidos en las gafas electrónicas). <i>Jorge Rodríguez Fabuel, et al.</i>	Estandarización de la valoración del aprendizaje y la evaluación de habilidades clínicas en optometría y contactología. <i>Guadalupe Rodríguez Zarzuelo, et al.</i>					10:20
10:40	Mejora de la visión con óptica esférica. <i>Laura Oliveira Soto, et al.</i>	Lentes de contacto RPG esclerales. Adaptación y aplicaciones clínicas. <i>Sergi Herrero Hernández, et al.</i>	Caracterización clínica de la lente fática de cámara posterior PRL® para alta y moderada miopía. <i>Rafael José Pérez Cambrodí, et al.</i>	Análisis de la evolución del queratocono tratado con Crosslinking. <i>Inmaculada López Izquierdo, et al.</i>	Magnificación de la imagen retiniana y cambios en la AV, con las alternativas quirúrgicas y no quirúrgicas de corrección de ametropías axiales. <i>José Antonio Calvache Anaya</i>	Comparativa de la adición tentativa para sujetos presbíteros en función de la amplitud acomodativa obtenida por métodos subjetivos y (...). <i>Vicente Fernández Sánchez, et al.</i>					10:40
11:00	VISITA EXPOSICIÓN E-PÓSTER / VOTACIÓN					VISITA EXPOSICIÓN COMERCIAL					11:00
11:30	<div style="display: flex; justify-content: space-between;"> <div style="width: 45%;"> <p>Novedad</p> <p>CONTROVERSIAS</p> <p>Queratocono: lentes de contacto vs. anillos / segmentos intraestromales.</p> <ul style="list-style-type: none"> ↳ Lentes de contacto como primera opción en el tratamiento del queratocono. <i>Jesús Carballo Álvarez</i> ↳ Anillos / segmentos intraestromales como primera opción en el tratamiento del queratocono. <i>David Piñero Llorens</i> </div> <div style="width: 45%;"> <p>Novedad</p> <p>AUDITORIO N-103 + N-104</p> <p>EVENTO IMPACTO</p> <p>Diagnóstico por imágenes. Averigua lo que sabes.</p> <ul style="list-style-type: none"> ↳ Polo anterior. <i>Pablo Gili Manzanaro</i> ↳ Segmento posterior. <i>Carlos Orduna Magán</i> ↳ Exámenes complementarios. <i>Marc Biarnés Pérez</i> </div> </div>										11:30
12:30											12:30
14:00	La visión más allá del 20/20. <i>César Villa Collar</i>	Revisión Cochrane sobre estrategias de manejo de la miopía disponibles en la actualidad. <i>Donald Mutti</i>	Optometría pediátrica: protocolo clínico. El contenido de una exploración ocular pediátrica completa. <i>Wolfgang Cagnolati</i>	Degeneración Macular Asociada a la Edad (DMAE): de la patogénesis a la clínica. <i>Ricardo P. Casaroli Marano</i>	Lectura crítica de artículos científicos. <i>Mª Asunción Peral Cerdá</i>	Monitorización de la progresión del glaucoma. <i>Juan Carlos Ondategui Parra</i>	Claves y tendencias en la gestión de la óptica del siglo XXI. <i>Jesús Ferradás González</i>				14:00
15:00	ENTREGA DE PREMIOS					ENTREGA DE PREMIOS					15:00

E-POSTERS
Los e-posters podrán consultarse durante todo el Congreso en los terminales digitales situados en el vestíbulo de la 1ª planta del Centro de Convenciones Puerta Norte de IFEMA

Business Optom
 Cursos Monográficos
 Comunicaciones Orales

Descubre la herramienta

D-OPTOM



Una aplicación informática que el Consejo General de Colegios de Ópticos-Optometristas pone a disposición de todos los colegiados, para ayudarles a prestar su servicio sanitario a la sociedad con la mejor información

Si quieres conocer D-OPTOM entra en su página web y regístrate: www.doptom.es

Journal of Optometry

Peer-reviewed Journal of the Spanish General Council of Optometry

La revista científica del Consejo General de Colegios de Ópticos-Optometristas

¡Consúltala gratis!

www.journalofoptometry.org

	09:30 - 09:45	09:45 - 10:00	10:00 - 10:15	10:15 - 10:30		10:30 - 10:45	10:45 - 11:00	11:00 - 11:15	11:15 - 11:30	
TERMINAL 1	Visión próxima-intermedia y acomodación. <i>Pilar Granados Delgado, et al.</i> 309	Queratitis infecciosa tardía tras queratotomía arcuata y Lasik. <i>Cristina García Recio, et al.</i> 187	Retinosis pigmentaria. Herencia genética. <i>Noelia Agulló Campoy, et al.</i> 181	Parámetros biométricos en la cirugía de implante de lentes fáquicas en ojos miopes: comparativa entre IOL Master® y Orbscan II®. <i>Sara Ortiz Toquero, et al.</i> 153		Desprendimiento seroso de retina. <i>Enrique Vélez Lasso, et al.</i> 110	Relación entre la dispersión intraocular de la luz y las aberraciones corneales. <i>Carlos García Resúa, et al.</i> 123	Diseño, producción y aplicación de vídeos de simulación de Baja Visión. <i>Eulalia Sánchez Herrero, et al.</i> 081	Análisis de la sensibilidad al contraste tras la administración de tratamiento tópico sobre la córnea. <i>Juan Carlos Nieto Fernández, et al.</i> 192	TERMINAL 1
TERMINAL 2	Velocidad de lectura con filtros de absorción selectiva en pacientes con degeneración macular. <i>Juan Enrique Cedrún Sánchez, et al.</i> 129	Evolución visual en iritis tras cirugía refractiva. <i>Rebeca Martínez Bravo, et al.</i> 221	Coroidopatía serosa central. Casos clínicos. <i>Mª del Mar Bazo Álvarez</i> 226	Habilidades visuales en niños de primaria con problemas de aprendizaje. <i>Elsa Gómez Domingo, et al.</i> 302		Meningioma de nervio óptico. Caso clínico. <i>Irene Fuentes Vega, et al.</i> 115	Capacidad diagnóstica de la perimetría automatizada convencional frente a la forma definida por Flicker para el glaucoma. <i>Sofía Otín Mallada, et al.</i> 125	Adaptación de lentes de contacto gas permeables en casos de cirugía refractiva. <i>Mónica Nieto Paños</i> 369	Cambios en las aberraciones corneales inducidos por la ortoqueratología nocturna: resultados tras un año de tratamiento y un mes después de la interrupción del tratamiento. <i>Amalia Lorente Velázquez, et al.</i> 324	TERMINAL 2
TERMINAL 3	Caracterización de las microfluctuaciones de la acomodación en miopes. <i>Sergio Martín Prieto, et al.</i> 283	Eficacia del tratamiento con terapia fotodinámica del nevus coroideo exudativo. <i>María Ortega Galiana, et al.</i> 316	Evaluación de la sensibilidad al contraste en visión lejana en pacientes implantados con LIOs multifocales VS monofocales. <i>María Consuelo Varón Puentes, et al.</i> 154	Caso clínico: adaptación de lente corneal y lente escleral en un paciente con queratocono. <i>Vicente Martín Montañez, et al.</i> 157		Análisis del ítem visión del Informe de Salud Escolar 2010 en tres departamentos de Salud de Alicante. <i>María José Albalá Cano, et al.</i> 180	Relación entre la extensión del halo y la dispersión intraocular en pacientes con cataratas. <i>Catalina Palomo-Álvarez, et al.</i> 211	Correlación entre el espesor de las fibras del nervio óptico y los parámetros anatómicos de la papila óptica en pacientes glaucomatosos. <i>Jordi Castellví Manent, et al.</i> 224	Detección precoz en un caso de meningioma intracranial. <i>Alberto López Navarro, et al.</i> 220	TERMINAL 3
TERMINAL 4	Queratitis por acanthamoeba. 'La peor pesadilla del contactólogo'. <i>Genoveva Scotto di Tella Manresa, et al.</i> 060	Técnica de la autofluorescencia: utilidad presente. <i>Marga Pujol Ferrer, et al.</i> 417	Formación para la atención primaria: un reto y una oportunidad para los futuros ópticos-optometristas. <i>Marta Lupón I Bas, et al.</i> 243	Coriorretinopatía serosa central. <i>Julián Calero Castillo, et al.</i> 327		¿A qué síndrome raro se puede asociar una erosión corneal recidivante? <i>Stela Carbonell Bonete, et al.</i> 288	Uveítis en la artritis crónica juvenil. <i>Noemi Santalla Rivera</i> 267	Cambios refractivos por síndrome de contracción capsular anterior tras cirugía de catarata. <i>Elena Loma Serrano, et al.</i> 366	Efecto de anisometropías inducidas sobre el control de la estabilidad. <i>Sergio Mayor Torroglosa, et al.</i> 308	TERMINAL 4
TERMINAL 5	Adaptación de lentes de contacto en ectasias corneales post Lasik. A propósito de un caso. <i>Inés Aráuz Pérez, et al.</i> 103	Opacificación de la cápsula posterior postcirugía de cataratas. A propósito de un caso clínico. <i>Ángel García Garrigós, et al.</i> 396	Evaluación de la capa de fibras nerviosas de la retina y su correlación con la edad de una población infantil. <i>Pilar Granados Delgado, et al.</i> 271	Readaptación con lente de contacto híbrida tras fracaso con lente híbrida permeable corneal y escleral. <i>Ignacio Serrano Peláez, et al.</i> 374		Técnica Lasek frente al láser femtosegundo en la corrección del astigmatismo miópico elevado. Estudio piloto. <i>José Luis Hernández Verdejo, et al.</i> 336	Amiodarona: neuropatía óptica tóxica versus neuropatía óptica isquémica anterior no arterítica. <i>Lucía García Antelo</i> 040	Estudio comparativo de la presión intraocular medido con tonómetro de contorno dinámico versus tonómetro de aplanación de Goldmann. <i>Inmaculada Fernández Sotillo, et al.</i> 052	Diferencias en la modificación de la prueba subjetiva del círculo horario de Parent y posterior comprobación con cilindro cruzado de Jackson, para la determinación del cilindro de astigmatismo. <i>Consuelo Villena Cepeda, et al.</i> 052	TERMINAL 5
TERMINAL 6	Diplopía monocular bilateral. <i>Carmen López de la Fuente, et al.</i> 266	Caso clínico de descomposición de la divergencia vertical disociada en posible cirugía refractiva. <i>María Tienda Porras, et al.</i> 390	Profesionales de la salud visual y atención a la discapacidad visual en estrategias de responsabilidad social empresarial. <i>Sergio Latorre Arteaga, et al.</i> 389	Un estudio multicéntrico de no usuarios de lentes de contacto blandas tóricas. <i>Silvia Pulido Sánchez de Rojas, et al.</i> 083		Incidencia de exotropías consecutivas a corto y largo plazo en pacientes con endotropía adquirida tratados con cirugía frente a toxina botulínica. <i>Rut González Jiménez, et al.</i> 401	Intolerancia a las lentes de contacto de hidrogel por dermatitis atópica. <i>Liliane Correa Rubio, et al.</i> 235	Cambios en la elevación en la curvatura anterior y posterior de la córnea antes y después de ortoqueratología con diferentes lentes de contacto. <i>António Queirós Pereira, et al.</i> 130	Respuesta corneal inmediata al porte de lentes de contacto. <i>Ana del Río San Cristóbal, et al.</i> 190	TERMINAL 6
TERMINAL 7	Microscopía confocal in vivo: hallazgos corneales y conjuntivales en conjuntivitis alérgicas. <i>Sandra Johanna Garzón Parra</i> 373	Defecto refractivo y agudeza visual en niños y niñas con ambliopía. <i>María Isabel Soro Martínez, et al.</i> 300	Comparación de 3 tipos de LC multifocales: lente hidrofílica, lente RPG y lente híbrida. A propósito de un caso. <i>Laura Batres Valderas, et al.</i> 344	Manejo refractivo mediante lente de contacto Hi-Si personalizada tras queratoprótesis en un ojo afectado de penfigoide cicatricial. <i>Antonio Verdejo del Rey, et al.</i> 041		Estudio comparativo entre la percepción visual de sujetos sanos y patológicos con diferentes defectos de la visión espacial. Simulación mediante el uso de un modelo de visión. <i>María Elena Triguero Reina, et al.</i> 403	Estudio de las aberraciones oculares de alto orden en pacientes con ectasia corneal. <i>Belén Puente Gete, et al.</i> 360	Red Epidemiológica Iberoamericana en Salud Visual y Ocular (REISVO). <i>Mari Carmen Morales Hernández, et al.</i> 184	Sintomatología asociada a usuarios de pantallas de visualización de datos. <i>Esteban Porcar Izquierdo, et al.</i> 215	TERMINAL 7
TERMINAL 8	Tratamiento precoz del síndrome en Z en lente acomodativa Crystalens HD. <i>Angeles Navarro Valverde, et al.</i> 231	Análisis descriptivo y cuantitativo del daltonismo en una población mediante el Test de Farnsworth D-15. <i>Mª del Cielo Sánchez-Migallón Carreras, et al.</i> 315	La formación continuada para ópticos optometristas. Experiencias on-line. <i>Eugenio Claramunt Vega, et al.</i> 311	Ortoqueratología: uso y abandono. <i>Francisco De Asís Morón Borrero, et al.</i> 370		Diplopía monocular a propósito de un caso. <i>Silvia Tablada García, et al.</i> 032	Utilidad de la tomografía de coherencia óptica en la retinitis pigmentaria. <i>Eva Sancho Moros, et al.</i> 229	Cambios en el espesor corneal periférico después de láser in situ keratomileusis (Lasik) y queratectomía fotorrefractiva (PRK). <i>António Queirós Pereira, et al.</i> 131	Variaciones de las propiedades biomecánicas en sujetos portadores de lentes de contacto. <i>Josefa Velasco Cabrera, et al.</i> 090	TERMINAL 8
TERMINAL 9	Glaucoma maligno tras cirugía de cataratas. <i>Arántzazu Martínez Amat, et al.</i> 101	Campaña de prevención de la Degeneración Macular Asociada a la Edad mediante rejilla de Amsler en Calpe (Alicante). <i>Patricia Argudo Ferragut, et al.</i> 250	Evolución de la agudeza visual en población pediátrica. <i>María Isabel Soro Martínez, et al.</i> 349	Adaptación de lente de contacto rígida gas permeable en paciente con degeneración marginal pelúcida en AO. <i>Itziar Delgado Romero, et al.</i> 420		Cómo cambiar la vida a una niña con cataratas congénitas. <i>Sonia de Andrés Pastor</i> 350	Fotografía monocromática de fondo de ojo y tomografía de coherencia óptica de alta resolución. <i>Pablo Gili Manzanaro, et al.</i> 291	Cambios en la cámara anterior en respuesta al uso de ortoqueratología nocturna en un corto periodo de tiempo. <i>Ana González Mesa, et al.</i> 303	Análisis in vitro de la influencia de la humedad relativa ambiental y del flujo de aire en la deshidratación de lentes de contacto hidrofílicas. <i>Cristina Arroyo del Arroyo, et al.</i> 199	TERMINAL 9
TERMINAL 10	Repetitividad del IOLMaster en posiciones excéntricas de retina. <i>Jorge Jorge, et al.</i> 337	Recambio de ICL por sorpresa refractiva al mes de la intervención debido a recuperación de Wapage 2 meses después de la retirada de LC aún sin observarse cambios topográficos. <i>Nuria Garzón Jiménez, et al.</i> 106	Hallazgos clínicos en una distrofia macular hereditaria. A propósito de un caso. <i>Alicia Ruiz Pomedá, et al.</i> 037	Diplopía binocular y lentes de contacto. <i>José María Gómez Sánchez, et al.</i> 372		Normalización del cover test y von Graefe en una población presbita y no presbita. <i>Mario Cantó Cerdán, et al.</i> 382	Adaptación de lente de contacto de alta potencia en paciente con Degeneración Macular Asociada a la Edad. <i>Luis Pérez Mañá, et al.</i> 109	Calidad visual de los pacientes en tratamiento con hemodiálisis. <i>Mª Luisa Sánchez Rodríguez, et al.</i> 093	Modificaciones corneales en ortoqueratología: una revisión de la literatura científica (2008-2011). <i>José Ramón García Bernabeu, et al.</i> 317	TERMINAL 10
TERMINAL 11	Nuevo diseño de lente de contacto híbrida para pacientes con queratocono. <i>Juan Gonzalo Carracedo Rodríguez, et al.</i> 346	Error en el cálculo de la potencia de una lente intraocular. <i>Verónica Mateo Pérez, et al.</i> 121	Implantación de segmentos iridianos tras un episodio de uveítis. <i>Alicia Matamoros Honderza, et al.</i> 105	Prevalencia de ametropías en pacientes con escasos recursos de diferentes nacionalidades. <i>Antonio Rodán González, et al.</i> 230		Mioquimia de oblicuo superior. A propósito de un caso. <i>José Alberto de Lázaro Yagüe, et al.</i> 298	Estudio de refracción periférica en jóvenes miopes. <i>Nuria Vila i Vidal, et al.</i> 119	Sumación binocular en condiciones fotópicas y mesópicas: efecto de la edad. <i>Carlos García Resua, et al.</i> 393	Medida objetiva de la amplitud acomodativa y su relación con la aberración esférica. <i>Norberto López-Gil, et al.</i> 413	TERMINAL 11
TERMINAL 12	Calidad visual mediante aberrometría de trazado de rayos: aplicaciones clínicas. <i>Antonio Verdejo del Rey, et al.</i> 357	Herniación coroidea severa. <i>Cristina García Recio, et al.</i> 208	Caso clínico: readaptación especial con lentes de contacto de hidrogel de silicón (piggy back y tórico) a paciente con anillos intraestromales, cross-linking y queratoplastia lamelar profunda. <i>Yohana Collante Haad</i> 323	Estudio piloto de entrenamiento visual durante 2 meses en jugadoras de baloncesto de élite. <i>Alèxia Martínez Caro, et al.</i> 265		Factores que influyen en la calidad de vida del paciente con glaucoma. <i>Rubén Cuadrado Asensio, et al.</i> 212	Cambios en la calidad visual producidos por las lentes oftálmicas. <i>Beatriz Javaloyes Moreno, et al.</i> 140	Variación de la osmolalidad en un modelo de mantenimiento de lente de contacto hidrofílica. <i>Antonio Abengózar-Vela, et al.</i> 227	¿Influye la longitud axial y el tipo de biometría usada en el resultado refractivo tras cirugía de catarata? <i>Verónica García López, et al.</i> 179	TERMINAL 12

	09:30 - 09:45	09:45 - 10:00	10:00 - 10:15	10:15 - 10:30		10:30 - 10:45	10:45 - 11:00	11:00 - 11:15	11:15 - 11:30	
TERMINAL 1	Otra forma de oftalmopatía tiroidea: el hipotiroidismo. <i>Lydia Medina Ramirez, et al.</i> 257	Atrofia girata. A propósito de un caso clínico. <i>Ángel García Garrigós, et al.</i> 398	Sorpresas refractivas tras el implante de lentes de fijación iridiana (Artiflex). A propósito de un caso. <i>Olga Diana Herrera, et al.</i> 068	Influencia del astigmatismo interno en Lasik. <i>Beatriz Gargallo Martínez, et al.</i> 036		Lentes ajustables a la luz y cirugía refractiva: caso clínico. <i>María José Bautista Llamas, et al.</i> 160	Neuropatía óptica isquémica anterior no arterítica como hallazgo casual en paciente con infarto cerebral. <i>Irene Simó-Giner, et al.</i> 233	Factores predictivos del resultado visual en el tratamiento de la ambliopía anisométrica leve o moderada con los filtros de Bangert. <i>Pedro Ruiz Fortes, et al.</i> 070	Cálculo de la sensibilidad y la especificidad de la sintomatología ocular y visual en el diagnóstico de astenopia ocupacional. <i>María del Mar Seguí Crespo, et al.</i> 245	TERMINAL 1
TERMINAL 2	Presentación y curso clínico de la neuropatía óptica inflamatoria recurrente crónica. <i>Raquel Herero Latorre, et al.</i> 304	Paciente con coroidopatía serosa central tratado con ranibizumab intravítreo y fotocoagulación con laser Argón. <i>Irene Simó-Giner, et al.</i> 075	Repetibilidad de la paquimetría central OCT 3D en córneas con y sin edema inducido por lentes de contacto. <i>Ana Belén Cisneros del Río, et al.</i> 073	Correlación de los valores de sensibilidad retiniana de la perimetría automatizada convencional (PA) frente a la forma definida por Flicker (FDF) del nuevo perimetro Heidelberg Edge Perimeter (HEP). <i>Sofía Otín Mallada, et al.</i> 124		Comparación del espesor central y periférico obtenido mediante Orbscan II y Pentacam en sujetos sanos. <i>Nery García Porta, et al.</i> 161	Lentes de contacto tras implantación de anillos intraestomales en queratocono. Adaptación personalizada a partir del estudio aberrométrico, irregularidad e integridad superficial. <i>Jesús Carballo Álvarez, et al.</i> 252	Efecto del tipo de catarata en la extensión del halo en el campo visual producida por una fuente deslumbrante. <i>Raquel Coca Serrano, et al.</i> 256	Influencia de las lentes de contacto tintadas sobre la calidad óptica y el rendimiento visual. <i>Carolina Ortiz Herrera, et al.</i> 188	TERMINAL 2
TERMINAL 3	Estudio de la agudeza visual estática en adultos con discapacidad intelectual. <i>Yolanda Martín Pérez, et al.</i> 273	Implante intracorneal Acufocus para la corrección quirúrgica de la presbicia. <i>María Nieves Gil Ciganda, et al.</i> 219	Campaña de control visual en Rissani (Marruecos). <i>Rubén Rico García, et al.</i> 240	Parálisis del VI par: caso clínico. <i>Rubén Sánchez Jean, et al.</i> 246		Diseño de un cribado visual en estudiantes de 3º de primaria. <i>Elvira Peris i March, et al.</i> 197	Hipoplasia bilateral de nervio óptico. <i>Fernando Javier Gómez Sanz, et al.</i> 183	Evaluación de los cambios biomecánicos en córneas queratócónicas antes y tras implante de anillos intracorneales de 5 y 6 mm. <i>Mar Argudo Iturriaga, et al.</i> 242	Estudio longitudinal sobre el espesor de las capas de la córnea tras ortoqueratología nocturna. <i>Amelia Nieto Bona, et al.</i> 232	TERMINAL 3
TERMINAL 4	Evaluación de la agudeza visual en cirugía de catarata con lente intraocular Mplus. <i>Montserrat Bestué Valenzuela, et al.</i> 297	Estudio del ángulo iridocorneal en operados con lente intracapsular mediante OCT de dominio espectral. <i>Raquel Herrero Latorre, et al.</i> 301	Mejora de la calidad de vida asociada a la prescripción de filtros de absorción selectiva. <i>Judith Mena Nieto, et al.</i> 166	Estudio comparativo de la calidad visual entre lentes de contacto multifocales de hidrogel de silicona esféricas y tóricas frente a las lentes oftálmicas progresivas. <i>Rubén Sánchez Jean, et al.</i> 247		Comparación entre refracción subjetiva y autorrefracción bajo cicloplejia. <i>Javier Lozano Sanroma, et al.</i> 321	Disminución de la AV con la edad: ¿deterioro óptico o neuronal? <i>Mª Carmen García Domene, et al.</i> 054	Mejora de la estabilidad de fijación y la resistencia a la lectura en pacientes con DMAE mediante un programa personalizado de entrenamiento. <i>Loreto Martínez-Almeida Castañeda, et al.</i> 203	Cambio en la longitud axial pre y post cirugía de catarata medida con IOLMaster. <i>Claudia García López, et al.</i> 177	TERMINAL 4
TERMINAL 5	Revisión de la indicación, desarrollo y resultados de terapia visual en centro oftalmológico. <i>Beatriz Martín García, et al.</i> 375	Defectos de refracción en niños intervenidos de ptosis palpebral severa. <i>María Villafranca Holguin, et al.</i> 326	Creación equipos interdisciplinarios para formación oftalmológica en África subsahariana. <i>Eva García Parés, et al.</i> 222	Diagnóstico diferencial entre coloboma de nervio óptico y Morning Glory. <i>Paloma Luque Morillo, et al.</i> 104		Enfermedad de Stargardt y ayudas de Baja Visión. <i>Eider Gutiérrez Zubizarreta, et al.</i> 329	Terapia refractiva corneal en un paciente con astigmatismo corneal limbo-a-limbo. <i>Diego García-Ayuso, et al.</i> 213	Variaciones anatómicas del segmento anterior asociadas al tamaño pupilar y cirugía de la catarata. <i>Francisco Manuel Armau Bret, et al.</i> 371	Fenómeno de Uthoff. A propósito de un caso. <i>Ángela Morejón Arranz, et al.</i> 280	TERMINAL 5
TERMINAL 6	Cirugía de cristalino transparente en paciente con miopía magna e insuficiencia limbal secundaria al uso de lentes de contacto. <i>Ana González Mesa, et al.</i> 422	Anillos intraestomales en ectasias corneales. <i>Ana Isabel Herranz Bartolomé, et al.</i> 347	Comparativa entre el material y las diferencias de diseño de dos lentes de contacto de hidrogel de silicona. <i>Silvia Pulido Sánchez de Rojas, et al.</i> 084	Utilidad de las lentes de contacto terapéuticas en Lasik complicado con queratitis herpética. <i>Elena García Martín, et al.</i> 127		Calidad visual y función acomodativa en presbíteros adaptados con lentes de contacto multifocales tóricas. <i>Elena Tomás Verduras, et al.</i> 138	Valoración de los cambios anatómicos y refractivos tras cirugía de indentación escleral circular. <i>Mª Teresa Díez Cuenca, et al.</i> 358	Diplopía monocular bilateral en síndrome de parpado flácido. <i>Rafael Llompart Pou</i> 049	Efecto de la catarata sobre las mediciones de la tomografía de coherencia óptica de dominio Fourier. <i>Eva Sancho Moros, et al.</i> 228	TERMINAL 6
TERMINAL 7	Lentes de geometría inversa tras queratotomía radial. Caso clínico. <i>Rafael José Pérez Cambrodi, et al.</i> 128	Estereoagudeza y curvas de desenfoque con PureVision Multifocal. <i>Almudena Llorente Guillemot, et al.</i> 415	Alteraciones en la CSF inducidas por la aplicación de filtros de corte para radiaciones de longitud de onda corta. <i>Natividad Alcón Gargallo, et al.</i> 148	Función de sensibilidad al contraste con lentes de contacto multifocales de visión simultánea. <i>Almudena Llorente Guillemot, et al.</i> 405		Adaptación de lente de contacto tras la realización de varias cirugías corneales por distrofia de Fuchs. <i>Leticia Santamaría García, et al.</i> 294	Refracción tras el uso diario de lentes de contacto blandas. <i>Adriana Galiñanes Rodríguez, et al.</i> 092	Foseta papilar. Implicaciones funcionales y estructurales. Caso clínico. <i>Pilar Rojo Badenas, et al.</i> 186	Resultados clínicos preliminares en el tratamiento de la hipermetropía con la tecnología láser de estado sólido. <i>Pedro Ruiz Fortes, et al.</i> 071	TERMINAL 7
TERMINAL 8	Barreras arquitectónicas y Baja Visión. <i>Carmen Moreno Pallarés, et al.</i> 306	Calibración de la medida de la presión intraocular manométrica versus Perkins en un modelo ex vivo de ojo porcino. <i>Irene Sánchez Pavón, et al.</i> 046	Queratoplastia endotelial asistida con láser femtosegundo: de la teoría a la práctica. <i>Marcos Antelo Piñeiro, et al.</i> 025	Adaptación de lente de contacto híbrida, Sinergeyes® Clearcone, tras implantación de anillos corneales intraestomales. A propósito de un caso. <i>Begoña Díez González, et al.</i> 165		Parámetros de normalidad del espesor macular mediante tomografía de coherencia óptica de alta definición en una población infantil. <i>Mª Teresa Díez Cuenca, et al.</i> 343	Perfil horizontal de la retina en miopes, emétopes y hipermetrópicas. <i>Jorge Jorge, et al.</i> 334	Tratamiento óptico del queratocono con lentes de contacto permeables al gas corneo-esclerales. Estudio clínico: resultados a los 12 meses. <i>Juan Carlos Montalt Rodrigo, et al.</i> 351	Evaluación clínica del tono-paquímetro Tonopachy NT-530 P para la medida del espesor corneal central. <i>María Jesús Giraldez Fernández, et al.</i> 207	TERMINAL 8
TERMINAL 9	Flóculo vítreo en ojo dominante. Sintomatología, agudeza visual y calidad óptica medida con OQAS. A propósito de un caso. <i>Esther López Artero, et al.</i> 098	Implante secundario de anillo intraestromal tras explante previo de otro anillo. <i>José María Sánchez Pina, et al.</i> 268	Influencia de la medida de las desviaciones con dispositivos LED: consideraciones y recomendaciones clínicas. <i>Juan de la Cruz Cardona Pérez, et al.</i> 333	La mirada de la India. <i>Silvia Tablada García, et al.</i> 091		Un reto para el buen profesional de la oftalmología: resolver los casos que han fracasado en otros lugares. <i>Rosa García Monlleó, et al.</i> 397	Influencia de las cataratas en la dispersión intraocular. <i>Eva Zurita Rosa, et al.</i> 202	Resolución de una neuropatía tóxica por consumo prolongado de alcohol y tabaco. A propósito de un caso. <i>Celeste Marina Verde, et al.</i> 039	Evaluación clínica del tonómetro de no contacto Tonopachy NT-530 P. <i>María Jesús Giraldez Fernández, et al.</i> 210	TERMINAL 9
TERMINAL 10	Cirugía de presbicia con lente intraocular LENTIS® Mplus LS-312MF (Oculentis®). <i>Patricia Gómez Neira, et al.</i> 024	Eficacia de una nueva lente de contacto RPG para control de la miopía mediante miopización periférica. <i>Jaime Pauné Fabrè</i> 059	Pseudoestrabismo & ectopia macular. <i>Enrique Jiménez Gañán, et al.</i> 085	Implantación de anillos intracorneales y lente fáquica de cámara anterior de fijación iridiana para la corrección de un queratocono combinado con una alta ametropía. <i>Elena Alonso del Rey, et al.</i> 318		Miopía súbita en paciente tratado con topiramato. <i>María Satué Palacián, et al.</i> 249	Adaptación de lente de contacto escleral en un caso de traumatismo corneal. <i>Sergi Herrero Hernández, et al.</i> 135	Valoración de distintas técnicas tonométricas. <i>Alejandro Fuentes Garrido, et al.</i> 117	Lentes de contacto permeables al gas corneo-esclerales tras implante de anillos intracorneales en queratocono. <i>Juan Carlos Montalt Rodrigo, et al.</i> 354	TERMINAL 10
TERMINAL 11	Problemas de binocularidad y dominancia manifiestos tras cirugía refractiva. <i>Esther López Artero, et al.</i> 097	Tratamiento de ortoqueratología con LC Seefree en tres pacientes adolescentes. <i>Maribel Olmo Díaz, et al.</i> 151	Función acomodativa y binocular con lentes de contacto cosméticas. <i>Raimundo Jiménez Rodríguez, et al.</i> 095	¿Síndrome papilo-renal o síndrome Alport? A propósito de un caso. <i>Inmaculada Fernández Sotillo, et al.</i> 042		Paresia del IV par craneal postraumática infantil. <i>Elena Loma Serrano, et al.</i> 368	Tabaquismo y salud visual. El rol del optometrista. <i>Araceli Salvá Bolufer, et al.</i> 310	Queratitis ulcerativa periférica tras implante de segmento intraestromal. <i>Silvia García Peláez, et al.</i> 353	Evidencia científica del efecto de la práctica del yoga sobre la salud visual. <i>Mª Isabel Signes Soler, et al.</i> 287	TERMINAL 11
TERMINAL 12	Lasik customizado con un nuevo láser refractivo de estado sólido. <i>Aranxa Gómez-Hurtado Cubillana, et al.</i> 035	Adaptación de lente de contacto semirrigida tras cirugía de segmentos intraestomales. A propósito de un caso. <i>Lourdes Santos Bouzo</i> 338	Actuación ante una papila sospechosa. <i>Adriana Ardao Rodríguez, et al.</i> 113	Sensibilidad al contraste dinámica, comparación con la estática. <i>Laura Mena García, et al.</i> 200		Adaptación de lentes de contacto gas permeable de geometría especial oblatas para queratocono. <i>José Luis Garrido Tundidor, et al.</i> 087	Pérdida visual por quiste estromal de iris secundario a cirugía de cataratas. <i>Noelia García Sánchez, et al.</i> 388	Paresia del IV par craneal por metástasis cerebral de un cáncer de mama. <i>Mónica Muñoz Mendoza, et al.</i> 355	Cambios a largo plazo en la concentración de mediadores de la inflamación en usuarios de lentes de contacto hidrogel-silicona, terapia refractiva corneal y Lasik. <i>Javier González Pérez, et al.</i> 159	TERMINAL 12

	10:00 - 10:15	10:15 - 10:30	10:30 - 10:45	10:45 - 11:00
TERMINAL 1	Adaptación al puesto de trabajo en personas con discapacidad visual. <i>Eva Bardón Valera, et al.</i> 421	Resultado de la agudeza visual y refracción del paciente tras cirugía de cataratas. <i>Mª Dolores Florenciano Escámez, et al.</i> 362	Prescripción de ayudas de Baja Visión en distrofia de conos y bastones. <i>Silvia García Peláez, et al.</i> 399	Xeroftalmia y pérdida de visión por hipovitaminosis A en la infancia. <i>Elena García Martín, et al.</i> 126
TERMINAL 2	Utilización de un test para medir la agudeza visual de lejos en pacientes con escotoma macular basado en el diseño de E múltiples de Harris. <i>Eduardo Gea Santamaría, et al.</i> 108	Análisis del espesor corneal central medido mediante paquimetría ultrasónica, Scheimpflug System, Orbscan II y microscopía especular SP-3000 en una población de sujetos sanos. <i>Nery García Porta, et al.</i> 198	Efecto de los filtros de densidad neutra sobre la agudeza visual corregida. <i>Francisco Luis Prieto Garrido, et al.</i> 171	Encuesta de satisfacción a los padres/tutores de los niños escolarizados en la campaña de ambliopía. <i>Paula Ortega García, et al.</i> 182
TERMINAL 3	Labor preventiva del optometrista en la retinopatía hipertensiva. <i>Lydia Medina Ramírez, et al.</i> 255	Uso de la lámpara de hendidura y BMU en la detección y diagnóstico de quistes oculares. <i>Sergio Estévez Rodríguez, et al.</i> 102	Diplopía torsional por parálisis bilateral de oblicuos superiores. A propósito de un caso. <i>Leticia Romero Nicolás, et al.</i> 169	Estudio del epitelio pigmentado de la retina en coriorretinopatía serosacentral. <i>Delia Navarro Rodríguez, et al.</i> 289
TERMINAL 4	Valoración del estado refractivo en población haitiana emigrada a República Dominicana. <i>Rosa Mariá Hernández Andrés, et al.</i> 423	Ortoqueratología, visión y lentes de contacto. <i>Mª José García Velasco, et al.</i> 145	Influencia del interlineado del texto en el desarrollo de los movimientos oculomotores en adultos mayores de 55 años. <i>Vicente Cuevas Fajardo, et al.</i> 258	Queratitis ulcerativa por Candida albicans por uso de corticoides. <i>Javier Lozano Sanroma, et al.</i> 381
TERMINAL 5	Uso de videoconsolas en el tratamiento de ambliopía. <i>Diego López Alcón, et al.</i> 400	Caso clínico: adaptación de lente de contacto híbrida con faldón hidrogel de silicona en un paciente con anisometropía y astigmatismo corneal elevado. <i>Belén Puente Gete, et al.</i> 314	Aplicación de Mitomicina C (MMC) al 0.02% como profilaxis de hize corneal después de ablación superficial avanzada. <i>Lourdes Santos Bouzo</i> 340	Revisión de los efectos de distintos tipos de lentes de contacto en la reducción de las aberraciones de alto orden en pacientes con queratocono. <i>Yriana Fernández Otero, et al.</i> 391
TERMINAL 6	Test de desarrollo de los movimientos oculomotores atencional (ADEM-d). <i>Andrés Gené Sampedro, et al.</i> 193	¿Córneas astigmáticas o globos astigmáticos? <i>Sofía Ruiz y Ruiz de Arévalo, et al.</i> 328	Movimientos oculomotores y velocidad de procesamiento en la esclerosis múltiple en una población española. <i>Andrés Gené Sampedro, et al.</i> 185	Análisis de la función visual en personas mayores institucionalizadas. <i>Polina Rumenova Hidzheva, et al.</i> 194
TERMINAL 7	Fondo de ojo: diseño de nuevos dispositivos para su evaluación. <i>Natividad Alcón Gargallo, et al.</i> 147	Adaptación de lentes de contacto postcirugía refractiva. <i>Gema Martínez Florentín, et al.</i> 335	Variación de la osmolaridad lagrimal en la adaptación de una lente de contacto de hidrogel de silicona. <i>Mª Asunción Peral Cerdá, et al.</i> 330	Regularización corneal de una degeneración marginal pelúcida mediante la inserción de tres segmentos intracorneales. <i>Manuel Álvarez Prada, et al.</i> 214
TERMINAL 8	CSF y percepción del color vs propiedades cromáticas de filtros ópticos. <i>Consuelo Moreno Llombart, et al.</i> 149	Bloqueo de nistagmo mediante lentes de contacto. <i>María Amparo Gil Casas, et al.</i> 348	Análisis de las aberraciones para diferentes diámetros pupilares en usuarios de ortoqueratología nocturna. <i>Elena Santolaria Sanz</i> 392	Screening de la visión cromática en la consulta de oftalmología general. <i>Johnny Di Pierdomenico, et al.</i> 305
TERMINAL 9	Manual práctico de cribaje en problemas visuales de refracción para médicos de familia y pediatras. <i>José Manzanares Fernández, et al.</i> 412	Estudio de la ambliopía en un gabinete optométrico de Águilas. <i>José Enrique Pinar Navarro, et al.</i> 359	Diplopía binocular vertical por anestesia retrobulbar tras cirugía de cataratas. <i>Mónica Muñoz Mendoza, et al.</i> 352	Variabilidad anatómica del ángulo fovea - disco óptico en pacientes sin patología binocular. <i>Elena Piedrahíta Alonso, et al.</i> 416
TERMINAL 10		Parálisis del sexto par de origen vascular. <i>Borja Navas Navia, et al.</i> 376	Influencia del entrenamiento en la realización de biometría ultrasónica versus biometría óptica, en un elevado número de casos. <i>Celeste Marina Verde, et al.</i> 038	Prevalencia de disfunciones acomodativas y binoculares en una población infantil. <i>Mª del Mar Lázaro Suárez, et al.</i> 361
TERMINAL 11		Incidencia de capsulotomías con láser neodimio: YAG en lentes de óptica con borde cuadrado en 360° vs lentes de óptica con borde cuadrado no en toda la superficie. <i>Israel López-Brea Sicca, et al.</i> 107	Epitelitis pigmentaria retiniana aguda. A propósito de un caso. <i>Sofía Ruiz y Ruiz de Arévalo</i> 325	Mejora de la medida de la amplitud de acomodación con la técnica de alejamiento. <i>Gema Martínez Florentín, et al.</i> 206
TERMINAL 12		Queratitis central tóxica. Diagnóstico diferencial con queratitis lamelar difusa. <i>Alicia Mancebo Rojo, et al.</i> 144	Infarto de la cabeza del nervio óptico secundario a la toma de sildenafil (Viagra®). <i>María Satué Palacián, et al.</i> 248	Eficacia de la ablación esférica guiada por frente de ondas (PTA®) con el láser Technolas 217z100®. <i>Berta Ruiz Belenda, et al.</i> 023